

О ПОЛЕ СКОРОСТЕЙ В ЦИЛИНДРИЧЕСКОМ ГИДРОЦИКЛОНЕ

Ю. В. МАРТЫНОВ

(*Москва*)

Проведено исследование течения в цилиндрическом гидроциклоне [1, 2] при умеренных числах Рейнольдса. Такой режим течения создается в гидроциклоне, например при сепарации сфокусированных твердых частиц. Расчет течения в гидроциклоне проведен в рамках теории невязкой несжимаемой жидкости, так как влияние турбулентных пульсаций на структуру потока в исследованном режиме течения (число Рейнольдса порядка нескольких тысяч) незначительно. Проведенное сопоставление полученных результатов с экспериментальными данными [3] свидетельствует о хорошем качественном соответствии.

Жидкость поступает в цилиндрический гидроциклон радиуса R° через впускное отверстие $\xi_3^\circ \leq \xi^\circ \leq R^\circ$ (ξ° – радиус), согласно схеме, изображенной на фиг. 1 (вследствие осевой симметрии представлена только половина сечения), а выходит через разгрузочное кольцевое отверстие $\xi_4^\circ \leq \xi^\circ \leq R^\circ$ и сливное кольцевое отверстие $\xi_1^\circ \leq \xi^\circ \leq \xi_2^\circ$. Согласно экспериментальным данным [3], на оси гидроциклона образуется воздушная полость постоянного радиуса, которую аппроксимируем цилиндром радиуса ξ_1° . Радиус воздушной цилиндрической полости будет определен позднее. Разрыв сплошности потока жидкости происходит из-за большой величины центробежной силы вблизи оси гидроциклона и выделения воздуха из воды в результате интенсивного вихреобразования [2].

Согласно [4, 5], уравнение для безразмерной функции тока осесимметричного вихревого течения невязкой несжимаемой жидкости в цилиндрической системе координат и граничные условия имеют вид

$$(1) \quad \frac{\partial^2 \psi}{\partial \eta^2} + \xi \frac{\partial}{\partial \xi} \left(\frac{1}{\xi} \frac{\partial \psi}{\partial \xi} \right) + G(\psi)G'(\psi) + \xi^2 F'(\psi) = 0$$

$$v_\xi = - \frac{1}{\xi} \frac{\partial \psi}{\partial \eta}, \quad v_\eta = \frac{1}{\xi} \frac{\partial \psi}{\partial \xi}, \quad v_\varphi \xi = G(\psi)$$

$$\psi(\eta, 1) = Q/2\pi, \quad \psi(\eta, \xi_1) = (Q-Q_1)/2\pi$$

$$\psi(0, \xi) = \Psi^\circ(\xi), \quad \psi(\eta_1, \xi) = \Psi^1(\xi)$$

$$\Psi^\circ(\xi) = \begin{cases} \psi_2(\xi) & \xi_4 \leq \xi \leq 1 \\ \frac{Q-Q_1}{2\pi} & \xi_1 \leq \xi \leq \xi_4 \end{cases}, \quad \Psi^1(\xi) = \begin{cases} \psi_0(\xi) & \xi_3 \leq \xi \leq 1 \\ 0 & \xi_1 \leq \xi \leq \xi_3 \\ \psi_1(\xi) & \xi_1 \leq \xi \leq \xi_2 \end{cases}$$

$$v_+ = \frac{Q^\circ}{\pi(R^{02} - \xi_3^{02})}; \quad p = \frac{p^\circ}{\rho V_+^2}; \quad v_\lambda = \frac{v_\lambda^\circ}{V_+} \quad (\lambda = \varphi, \eta, \xi)$$

$$F(\psi) = F^\circ(\psi)/\rho V_+^2; \quad G(\psi) = G^\circ(\psi)/R^\circ V_+$$

$$\psi = \psi^\circ/V_+ R^{02}; \quad \xi_i = \xi_i^\circ/R^\circ \quad (i=1, \dots, 5)$$

Здесь v_r, v_η, v_ϕ — радиальная, осевая, азимутальная компоненты скорости соответственно, $F(\psi)$ — интеграл Бернулли, $G(\psi)$ — циркуляция, $\psi_0(\xi), \psi_1(\xi), \psi_2(\xi)$ — функции тока на входном, сливном и разгрузочном отверстиях соответственно, Q, Q_1 — расход жидкости через входное и разгрузочное отверстия соответственно.

При переходе к безразмерным переменным в качестве масштабов длины и скорости выбраны радиус гидроциклона R^o и средняя скорость жидкости на выходе из выпускного отверстия соответственно, индексом ноль везде обозначены размерные величины.

На граничные условия (1) наложены дополнительные ограничения — соотношения расхода жидкости. Кроме того, функция тока должна быть непрерывной функцией, так как скачок функции тока приводит к бесконечным скоростям в осевой плоскости

$$(2) \quad \begin{aligned} \psi_1(\xi_1) &= \psi_2(\xi_4) = (Q - Q_1)/2\pi, \\ \psi_0(\xi_3) &= \psi_1(\xi_2) = 0 \\ \psi_2(1) &= \psi_0(1) = Q/2\pi \\ \psi_0(1) - \psi_0(\xi_3) &= \psi_2(1) - \\ &- \psi_2(\xi_4) + \psi_1(\xi_1) - \psi_2(\xi_2) \end{aligned}$$

Определим теперь радиус воздушного столба ξ_1 . Учитывая, что интеграл Бернулли сохраняется вдоль линии тока и что давление жидкости на межфазной поверхности воздушного столба равно давлению газа p_1 в воздушной полости, получим уравнение

$$(3) \quad \begin{aligned} p_0 + \left[\left(\frac{1}{\xi_5} \frac{\partial \psi_0}{\partial \xi} \Big|_{\xi=\xi_5} \right)^2 + \right. \\ \left. + \frac{G(\psi_0(\xi_5))^2}{\xi_5} \right] / 2 = \\ = p_1 + \left[\left(\frac{1}{\xi_1} \frac{\partial \psi_1}{\partial \xi} \Big|_{\xi=\xi_1} \right)^2 + \right. \\ \left. + \left(\frac{G(\psi_1(\xi_1))^2}{\xi_1} \right) \right] / 2 \end{aligned}$$

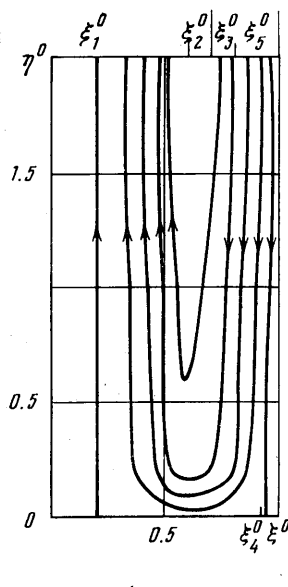
Здесь в правой части равенства выписана величина интеграла Бернулли на линии тока, проходящей по межфазной поверхности, т. е. величина $\psi = (Q - Q_1)/2\pi$, а в левой части — величина интеграла Бернулли на выпускном отверстии в точке $\xi = \xi_5$, в которой функция тока равна $(Q - Q_1)/2\pi$, p_0 — давление на выходе из выпускного патрубка, $\psi_0(\xi)$, $\psi_1(\xi)$ — распределение функции тока на выпускном и сливном отверстиях соответственно. Решив уравнение $\psi_0(\xi_5) = (Q - Q_1)/2\pi$, найдем величину ξ_5 . Таким образом, задача (1) может быть решена только после того, как будут найдены величины ξ_5 и ξ_1 .

Следуя работам [6, 7], аппроксимируем произведение $G(\psi)G'(\psi)$ и функцию $F'(\psi)$ выражениями

$$(4) \quad G(\psi)G(\psi)/d\psi = k\psi + c; \quad F'(\psi) = A_1 + A_2\psi$$

$k, c, A_1, A_2 = \text{const}$

Оценим погрешность линеаризации. Для этого, произведя замену $\psi(\xi, \eta) = v(\xi, \eta) + \Psi^1(\xi)$, найдем решение следующих задач, считая, что



Фиг. 1

правые части являются функциями только координат

$$(5) \quad \frac{\partial^2 \vartheta_1}{\partial \eta^2} + \frac{\partial^2 \vartheta_1}{\partial \xi^2} - \frac{1}{\xi} \frac{\partial \vartheta_1}{\partial \xi} = -G(\vartheta_1 + \Psi^1) G'(\vartheta_1 + \Psi^1) - \\ - \xi^2 F'(\vartheta_1 + \Psi^1) - \xi \frac{\partial}{\partial \xi} \left(\frac{1}{\xi} \frac{\partial \Psi^1}{\partial \xi} \right)$$

$$(6) \quad \frac{\partial^2 \vartheta_2}{\partial \eta^2} + \frac{\partial^2 \vartheta_2}{\partial \xi^2} - \frac{1}{\xi} \frac{\partial \vartheta_2}{\partial \xi} = -k\vartheta_2 - \xi^2 A_2 \vartheta_2 - c - \xi^2 A_1 - \Psi^1(\xi) \times \\ \times [k + \xi^2 A_1] - \xi \frac{\partial}{\partial \xi} \left(\frac{1}{\xi} \frac{\partial \Psi^1}{\partial \xi} \right)$$

$$(7) \quad \begin{aligned} \vartheta_i(\eta, 1) &= \vartheta_i(\eta, \xi_1) = \vartheta_i(\eta_1, \xi) = 0 \quad (i=1, 2) \\ \vartheta_i(0, \xi) &= \Psi^0(\xi) - \Psi^1(\xi) \end{aligned}$$

Границные условия (7) являются общими для обоих уравнений (5), (6). Решение задачи (5), (7) ($i=1$) и (6), (7) ($i=2$) ищем в виде рядов

$$(8) \quad \vartheta_i(\eta, \xi) = \sum_{n=1}^{\infty} Y_n^i(\eta) \xi [J_1(\lambda_n \xi) N_1(\lambda_n) - J_1(\lambda_n) N_1(\lambda_n \xi)]$$

где λ_n — n -й положительный корень трансцендентного уравнения

$$(9) \quad J_1(\lambda_n \xi_1) N_1(\lambda_n) - J_1(\lambda_n) N_1(\lambda_n \xi_1) = 0$$

$$B_n = \pi^2 \lambda_n^2 J_1^2(\lambda_n \xi_1) / [2(J_1^2(\lambda_n \xi_1) - J_1^2(\lambda_n))]$$

$$(10) \quad \begin{aligned} Y_n^i(\eta) &= \frac{e^{-\lambda_n \eta}}{2\lambda_n} \int e^{\lambda_n \eta} b_{n,i} d\eta - \frac{e^{\lambda_n \eta}}{2\lambda_n} \int e^{-\lambda_n \eta} b_{n,i} d\eta + \\ &+ \left\{ \left\{ \frac{e^{-\lambda_n \eta_1}}{2\lambda_n} \int_0^{\eta_1} e^{\lambda_n \eta} b_{n,i} d\eta - \frac{e^{\lambda_n \eta_1}}{2\lambda_n} \int e^{-\lambda_n \eta} b_{n,i} d\eta \right\}_{\eta=0} + \right. \\ &+ a_{n3}^i e^{-\lambda_n \eta_1} \left. \right\} e^{\lambda_n \eta} + \left\{ \frac{e^{-\lambda_n \eta_1}}{2\lambda_n} \int e^{\lambda_n \eta} b_{n,i} d\eta \Big|_{\eta=\eta_1} - \right. \\ &- \left. \frac{e^{\lambda_n \eta_1}}{2\lambda_n} \int_0^{\eta_1} e^{-\lambda_n \eta} b_{n,i} d\eta - \frac{e^{\lambda_n \eta_1}}{2\lambda_n} \int e^{\lambda_n \eta} b_{n,i} d\eta \Big|_{\eta=0} + \right. \\ &+ a_{n3}^i e^{\lambda_n \eta_1} \left. \right\} (e^{-\lambda_n \eta_1} - e^{\lambda_n \eta_1})^{-1} \quad (i=1, 2) \end{aligned}$$

$$a_{nj}^i = B_n \int_{\xi_1}^1 \beta_j^i [I_1(\lambda_n \xi) N_1(\lambda_n) - I_1(\lambda_n) N_1(\lambda_n \xi)] d\xi$$

($j=1, 3$; $i=1, 2$)

$$\beta_1^i = -G(\Psi^1 + \vartheta) G'(\vartheta + \Psi^1) - \xi^2 F'(\vartheta + \Psi^2)$$

$$\beta_2^i = \beta_2^2 = -\xi \frac{\partial}{\partial \xi} \left(\frac{1}{\xi} \frac{\partial \Psi^1}{\partial \xi} \right), \quad \beta_3^2 = \beta_3^2 = \Psi^0 - \Psi^1$$

$$\beta_1^2 = -k\vartheta - \xi^2 A_2 \vartheta - c - \xi^2 A_1 - \Psi^1 [k + \xi^2 A_1]$$

$$b_{ni} = a_{n1}^i + a_{n2}^i \quad (i=1, 2)$$

Подставив (9), (10) в (8), поменяв порядок суммирования и интегрирования и вычитая из решения задачи (5), (7) решение задачи (6), (7), получим

$$(11) \quad \begin{aligned} \vartheta_3(\eta, \xi) = & \vartheta_1(\eta, \xi) - \vartheta_2(\eta, \xi) = \int_{\xi_1}^1 \sum_{n=1}^{\infty} \int \Delta [e^{\lambda_n(t-\eta)} - \\ & - e^{\lambda_n(\eta-t)}] dt |_{t=\eta} M_n(\xi) + \left\{ \int_{\xi_1}^1 \sum_{n=1}^{\infty} \int \Delta [e^{\lambda_n(t+\eta-\eta_1)} - \right. \\ & - e^{\lambda_n(\eta_1-t-\eta)}] dt M_n(\xi) + \int_{\xi_1}^1 \sum_{n=1}^{\infty} \int_0^{\eta_1} \Delta [e^{\lambda_n(t-\eta_1+\eta)} - \\ & - e^{\lambda_n(\eta_1-t+\eta)}] dt M_n(\xi) |_{t=\eta_1} + \int_{\xi_1}^1 \sum_{n=1}^{\infty} \int_0^{\eta_1} \Delta [e^{\lambda_n(\eta-t-\eta_1)} - \\ & \left. - e^{\lambda_n(\eta_1+t-\eta)}] dt |_{t=0} M_n(\xi) \right\} (e^{-\lambda_n \eta_1} + e^{\lambda_n \eta_1}) \\ \Delta = & -G(\Psi^1 + \vartheta) G'(\Psi^1 + \vartheta) - \xi^2 F'(\vartheta + \Psi^1) + k\vartheta + \xi^2 A_2 \vartheta + c + \\ & + \xi^2 A_1 + \Psi^1 [k + \xi^2 A_1] \end{aligned}$$

Отсюда если $|F'(\vartheta + \Psi^1) - A_1 - A_2(\Psi^1 + \vartheta)| < \frac{1}{2}\Delta$, $|G(\vartheta + \Psi^1) G'(\vartheta + \Psi^1) - c - k(\vartheta + \Psi^1)| < \frac{1}{2}\Delta$, то $|\vartheta_3| < \Delta^* M$, где Δ^* — максимальное значение

$|\Delta|$ и M — максимальное значение выражения (11), поделенного на величину $-\Delta^*$. Таким образом, для того, чтобы $|\vartheta_3| < \delta$, необходимо, чтобы $\Delta^* < \delta/M$.

Оценим величину M :

$$(12) \quad M = \frac{6\pi(1-\xi_1)}{\xi_1^{1/2}} \zeta(2) - \sum_{n=1}^N \left\{ \frac{6\pi^2(1-\xi_1)}{n^2 \xi_1^{1/2}} - \frac{3\pi^2}{2} \times \right. \\ \left. \times \frac{J_1^2(\lambda_n \xi_1) [(J_0(\lambda_n \xi_1) - J_0(\lambda_n)) N_1(\lambda_n) + (N_0(\lambda_n) - N_0(\lambda_n \xi_1)) J_1(\lambda_n)]}{[J_1^2(\lambda_n \xi_1) - J_1^2(\lambda_n)]} \right\}$$

Здесь $\zeta(N)$ — дзета-функция Римана, N — номер наименьшего корня уравнения (9), который больше 10.

Теперь перейдем к выбору аппроксимационных функций.

Для того чтобы можно было аппроксимировать истинные значения произведения $G(\psi) G'(\psi)$ и функции $F'(\psi)$ выражениями (3), а следовательно, найти постоянные k , c , A_1 , A_2 , необходимо получить явные зависимости произведения $G(\psi) G'(\psi)$ и функции $F'(\psi)$ от функции тока ψ . Так, зная зависимости компонент скорости от радиуса на входном отверстии, через который проходит весь поток жидкости, т. е. все линии тока (если нет областей замкнутых циркуляций внутри гидроциклона), а так-

же зная зависимость ψ_0 от ξ , можно найти зависимости произведения $G(\psi)G'(\psi)$ и функции $F'(\psi)$ от ψ на входном отверстии. Эти зависимости будут сохраняться во всем потоке. Выражая радиус через $\psi_0(\xi)$ ($\xi = f(\psi_0)$) и подставляя эту зависимость вместо ξ в $G(\psi)$ на входе, найдем явную зависимость циркуляции от ψ . Если в интеграле Бернулли давление заменить выражением, которое получается после интегрирования по ξ уравнения

$$v_\xi \frac{\partial v_\xi}{\partial \xi} + v_\eta \frac{\partial v_\xi}{\partial \eta} - \frac{v_\varphi}{\xi} = - \frac{1}{\rho} \frac{\partial p}{\partial \xi}$$

то получим зависимость $F(\psi)$ от ξ на впускном отверстии

$$F(\psi) = \int_{\xi_1}^{\xi} \left[-v_\eta \frac{\partial v_\xi}{\partial \eta} + \frac{v_\varphi^2}{\xi} \right] d\xi + \frac{v_\eta^2 + v_\varphi^2}{2}$$

Подставив вместо ξ выражение $f(\psi_0)$, получим явную зависимость $F(\psi)$ от функции тока. Функции $G(\psi)G'(\psi)$ и $F'(\psi)$ непрерывные, если компоненты скорости и вихря — непрерывные функции, так как $F'(\psi) = (\mathbf{v} \times \boldsymbol{\omega}) \cdot \mathbf{n}$, $\mathbf{n} \perp \mathbf{v}$, а согласно [1], $G'(\psi) = w_\xi/v_\xi$. В этом случае необходимо аппроксимировать функции $G(\psi)G'(\psi)$ и $F'(\psi)$ линейными функциями, так чтобы они наименее отклонялись (в метрике пространства C) от данных непрерывных зависимостей $G(\psi)G'(\psi)$ и $F'(\psi)$. Согласно теореме Вейерштрасса [8], выбор таких функций (3) единствен и вполне характеризуется тем, что число последовательных точек интервала $[0, Q/2\pi]$, в котором разности между $G(\psi)G'(\psi)$, $F'(\psi)$ и функциями (3) принимают с чередующимися знаками значения максимумов этих разностей не менее трех [8], так как аппроксимируем полиномом первой степени. В случае разрывных компонент вихря или скорости можно ограничиться требованием наименьшего отклонения функций (3) от $G(\psi)G'(\psi)$ и $F'(\psi)$ в метриках пространства L_2 , т. е. найти линейные функции наилучшего интегрального приближения или наилучшего среднеквадратического приближения [8, 9]. Так как обычно произведение $G(\psi)G'(\psi)$ и функция $F'(\psi)$ не имеют резких экстремумов, то отличие коэффициентов аппроксимации, найденных по методу наименьших квадратов [9], т. е. в метрике пространства L_2 , от аппроксимации в метрике пространства C незначительное. Достаточно потребовать обращения в минимум следующих интегралов:

$$I_1 = \int_0^{Q/2\pi} [F'(\psi) - A_1\psi - A_2]^2 d\psi$$

$$I_2 = \int_0^{Q/2\pi} [G(\psi)G'(\psi) - k\psi - c_2]^2 d\psi$$

Коэффициенты A_1 , A_2 находятся из решения системы уравнений

$$\frac{1}{2} \frac{dI_1}{dA_1} = \int_0^{Q/2\pi} [F'(\psi) - A_1\psi - A_2]\psi d\psi$$

(13)

$$\frac{1}{2} \frac{dI_1}{dA_2} = \int_0^{Q/2\pi} [F'(\psi) - A_1\psi - A_2] d\psi$$

Для нахождения k , с составляется аналогичная система. Если $A_1 \approx A_2 \approx 0$, то течение близко к однородному винтовому.

Найдем решение задачи (5), (7). Ищем решение в виде ряда

$$(14) \quad \vartheta_2(\eta, \xi) = \sum_{n=1}^{\infty} M_n(\xi) N_n(\eta)$$

После подстановки (14) в (5), добавления членов $A_2\vartheta - A_2\dot{\vartheta}$ и разделения переменных получаем уравнение для $M_n(\xi)$:

$$(15) \quad \xi \frac{\partial}{\partial \xi} \left(\frac{1}{\xi} \frac{\partial M_n}{\partial \xi} \right) + (\xi^2 A_2 - \kappa + \lambda) M_n = 0$$

Здесь λ — константа разделения $\kappa = A_2$, если $A_2 > 0$, и $\kappa = 0$, если $A_2 < 0$; величина κ введена для того, чтобы спектр собственных значений был положительным, когда $A_2 > 0$.

Заменой $M_n(\xi) = y \exp(-y/2)\theta$ и $y = i\sqrt{A_2}\xi^2$ сведем уравнение (15) к вырожденному гипергеометрическому уравнению. После нахождения $M_n(\xi)$ и $N_n(\eta)$ и выделения действительной части получим выражение для функции тока

$$(16) \quad \begin{aligned} \psi(\xi, \eta) = & \operatorname{Re} \sum_{n=1}^{\infty} B_n \xi^n \exp(i\sqrt{A_2}\xi^2/2) \Delta(b_n, 2, \xi) \times \\ & \times \{ \{ [(\alpha_{n,6} + \beta_n) \exp(-\eta_1 \sigma_n) - \beta_n] \exp(\eta \sigma_n) + [\beta_n - (\alpha_{n,6} + \beta)] \times \\ & \times \exp(\eta_1 \sigma_n) \} \exp(-\eta \sigma_n) \} (-2) \operatorname{sh}^{-1}(\eta_1 \sigma_n) - \beta_n \} + \Psi^1(\xi) \\ \Delta(b_n, 2, \xi) = & \Phi(b_n, 2; -i\sqrt{A_2}\xi^2) \Psi(b_n, 2; -i\sqrt{A_2}\xi^2) - \\ & - \Phi(b_n, 2; -i\xi_1^2 \sqrt{A_2}) \Psi(b_n, 2; -i\sqrt{A_2}\xi^2); \sigma_n = (\lambda_n - k - \kappa)^{1/2}; \\ b_n = & 1 + (\lambda_n - \kappa) i / (4\sqrt{A_2}); \beta_n = \sigma_n^{-2} (\alpha_{n,1} c + \alpha_{n,2} A_1 + \alpha_{n,3} k + \\ & + \alpha_{n,4} A_2 + \alpha_{n,5}); B_n^{-2} = \int_{\xi_1}^1 \xi^2 \exp(i\sqrt{A_2}\xi^2) \Delta^2(b_n, 2; \xi) d\xi; \\ \psi(b_n, n+1; z) = & \frac{(-1)^{n-1}}{n! \Gamma(b_n - n)} \left\{ \Phi(b_n, 2; z) \ln z + \right. \\ & + \sum_{r=0}^{\infty} \frac{(b_n)_r}{(n+1)_r} [\varphi(a+r) + \varphi(1+r) - \varphi(1+n-r)] \frac{z^r}{r!} + \frac{(n-1)!}{\Gamma(b_n)} \times \\ & \times \sum_{r=0}^{n-1} \frac{(b_n-r)_r}{r!} \frac{z^{r-n}}{r!}; \alpha_{n,i} = \int_{\xi_1}^1 \xi^{-2} \beta_i * (\xi) M_n(\xi) d\xi \quad (i=1, \dots, 6) \\ \beta_1 * = & -1; \beta_2 * = -\xi^2; \beta_3 * = \beta_4 * / \xi^2 = \Psi^1(\xi); \beta_6 * = \Psi^0(\xi) - \Psi^1(\xi) \\ \beta_5 * = & - \left\{ \frac{\partial^2 \Psi'(\xi)}{\partial \xi^2} + \left[\frac{\partial \Psi'(\xi)}{\partial \xi} \right]_{\xi=\xi_3} \delta(\xi_3) + \right. \\ & \left. + \left[\frac{\partial \Psi^1(\xi)}{\partial \xi} \right]_{\xi=\xi_2} \delta(\xi_2) - \frac{1}{\xi} \frac{\partial \Psi^1(\xi)}{\partial \xi} \right\} \end{aligned}$$

Здесь $\Phi(b_n, m; z)$ — функция Куммера, $(a)_r$ — символ Погхаммера [10], $\Gamma(z)$, $\varphi(z)$ — гамма-функция и ее логарифмическая производная соответ-

ственено, $\delta(x)$ — дельта-функция, $[f(x)]_{x=\infty}$ — величина скачка функции в точке x_0 , а λ_n — n -й положительный корень трансцендентного уравнения

$$(17) \quad \Psi\left(1 - \frac{(\lambda-\kappa)i}{4\sqrt{A_2}}, 2; -i\sqrt{A_2}\right) \Phi\left(1 - \frac{(\lambda-\kappa)i}{4\sqrt{A_2}}, 2; -i\sqrt{A_2}\xi_1^2\right) - \\ - \Psi\left(1 - \frac{(\lambda-\kappa)i}{4\sqrt{A_2}}, 2; -i\sqrt{A_2}\xi_1^2\right) \Phi\left(1 - \frac{(\lambda-\kappa)i}{4\sqrt{A_2}}, 2; -i\sqrt{A_2}\right) = 0$$

Компоненты скорости выражаются через функцию тока по формулам (1).

Из выражения (15) видно, что если $\lambda_n - k - \kappa < 0$, то показатели экспонент становятся мнимыми, что соответствует возникновению синусоидальных возмущений в потоке с длиной волны $l_n = 2\pi/|\sigma_n|$. Зависимость возникновения синусоидальных возмущений от радиуса столба воздуха на оси гидроциклона ξ_1 и от постоянной A_2 исследована в [11]. На основании формул (3), (16) произведем расчет течения в цилиндрическом гидроциклоне, у которого $p_0 = 233.5$, $p_1 = 62.25$, $\xi_2 = 0.6$, $\xi_3 = 0.7$, $\xi_4 = 0.95$, $\eta_1 = 4$, $Q = -3.55$, $Q_1 = 0.355$ и зависимости функций тока на впускном, сливном и разгрузочном отверстиях, а также зависимость циркуляции $G(\xi)$ и радиальной компоненты скорости на впусканом отверстии имеют вид

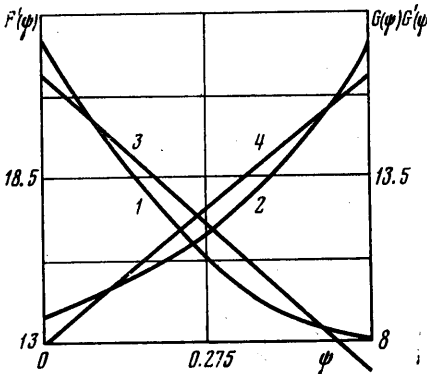
$$(18) \quad \begin{aligned} \psi_0(\xi) &= v_0 \frac{(1+\xi_3^2)}{\pi} \left[\cos \frac{\xi_3^2 \pi}{1+\xi_3^2} - \cos \frac{\xi_3^3 \pi}{1+\xi_3^2} \right] \\ \psi_1(\xi) &= v_1 \frac{\xi_1^2 + \xi_2^2}{\pi} \left[\cos \frac{\xi_1^2 \pi}{\xi_1^2 + \xi_2^2} - \cos \frac{\xi_2^2 \pi}{\xi_1^2 + \xi_2^2} \right] \\ \psi_2(\xi) &= v_2 \frac{1+\xi_4^2}{2} \left[\cos \frac{\xi_4^2 \pi}{1+\xi_4^2} - \cos \frac{\xi_4^3 \pi}{1+\xi_4^2} \right] + 0.495 \\ G(\xi) &= v_3 \xi^2 \frac{\pi}{1+\xi_3^2}, \quad v_n = 0 \end{aligned}$$

Выпишем зависимости производной интеграла Бернулли по ψ и произведения $G(\psi)G'(\psi)$ от функции тока, полученные на основании формул (18)

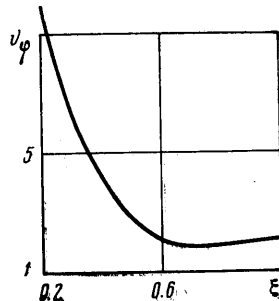
$$(19) \quad \begin{aligned} dF'(\psi)/d\psi &= \frac{4\pi v_0}{(1+\xi_3^2)} \left[B - \frac{\psi\pi}{(1+\xi_3^2)v_0} \right] + \frac{v_3^2}{v_0} \frac{\pi^2}{(1+\xi_3^2)} \times \\ &\times \frac{1}{\sqrt{1-(B-\psi\pi/(1+\xi_3^2)v_0)^2}} \\ G(\psi) \frac{dG(\psi)}{d\psi} &= \frac{v_3^2 \pi}{v_0 (1+\xi_3^2)} \times \\ &\times \arccos \left(B - \frac{\psi\pi}{(1+\xi_3^2)v_0} \right) \frac{1}{\sqrt{1-(B-\psi\pi/(1+\xi_3^2)v_0)^2}} \\ B &= \cos(\xi_3^2 \pi / (1+\xi_3^2)) \end{aligned}$$

На фиг. 2 нанесены значения $dP/d\psi$ (кривая 1) и значение $G \times dG/d\psi$ (кривая 2), рассчитанные по формулам (19). Подставив (19) в систему уравнений (13), можно найти A_1 , A_2 . Аналогично можно найти k , c . Апроксимирующие прямые имеют вид $P'(\psi) = 22.45 - 18.55\psi$; $G(\psi)G'(\psi) = -16.95 + 16.27\psi$ и представлены на фиг. 2 прямыми 3 и 4 соответственно. Как видно из фиг. 2, производная от интеграла Бернулли $dF(\psi)/d\psi$ явля-

ется монотонно убывающей функцией (кривая 1), а произведение $G(\psi)G'(\psi)$ — монотонно возрастающей функцией (кривая 2). Кроме того, из фиг. 2 видно, что аппроксимирующие полиномы первой степени отличаются от истинных распределений незначительно, а разности между



Фиг. 2



Фиг. 3

ними и функциями $F'(\psi)$ и $G(\psi)G'(\psi)$ принимают с чередующими знаками три максимума.

Решив уравнение $\psi_0(\xi) = (Q - Q_1)/2\pi$, найдем, что $\xi_0 = 0.96$. Отсюда, подставив найденное значение ξ_0 в уравнение (3), найдем $\xi_1 = 0.2$.

Численное суммирование ряда (14) было произведено после того, как были найдены положительные корни λ_n уравнения (17). Ряды (16) с найденными значениями корней λ_n уравнения (17) сходятся быстро, поэтому при расчете поля скоростей в гидроциклоне можно ограничиться численным суммированием шести первых членов ряда (16).

На фиг. 1 нанесены линии тока для равноотстоящих значений ψ с шагом 0.1, начиная со значения 0.1 (самая удаленная линия тока от боковых поверхностей гидроциклона). Картина линий тока согласуется с уравнениями расхода жидкости и с экспериментальными данными [3]. Сгущение линий тока, как показано на фиг. 1, в кольцевых областях $0.2 < \eta < 2.4$, $0 \leq \psi \leq 2\pi$, $\xi_1 < \xi < \xi_2$, и $0.2 < \eta < 2.4$ $0 \leq \psi \leq 2\pi$, $\xi_3 < \xi < 1$ связано с наличием максимумов осевой скорости на впускном и сливном отверстиях. Иначе говоря, осевая скорость вблизи боковых стенок, поверхности воздушного столба и поверхности, на которой v_η меняет знак, меньше, чем в остальных частях потока.

Теперь найдем распределение азимутальной компоненты скорости внутри цилиндрического гидроциклона. Учитывая, что величина циркуляции сохраняется вдоль линии тока, зная распределение линий тока в плоскости поперечного сечения гидроциклона и зависимость циркуляции от функции тока, найденную на входном отверстии, можно найти распределения циркуляции и азимутальной компоненты скорости внутри гидроциклона.

На фиг. 3 изображено распределение азимутальной компоненты скорости вдоль радиуса ξ при $\eta = 1$. Расчет показывает, что профили азимутальной компоненты скорости вдоль оси приближенно подобны в области $0.2 < \eta < 2.4$, $0 \leq \psi \leq 2\pi$, $\xi_1 < \xi < \xi_2$, так как картинки линий тока приближенно подобны в этой области, что согласуется с экспериментальными данными [3]. Из фиг. 3 видно, что азимутальная компонента скорости монотонно убывает при $0.2 \leq \xi \leq 0.68$ и монотонно возрастает при $0.68 \leq \xi \leq 1$. На боковой поверхности гидроциклона азимутальная компонента скорости

равна 2.08, на свободной поверхности воздушного столба — 10, а на дне (за исключением разгрузочного отверстия) задается зависимостью $2/\xi$. Резкое возрастание v_ϕ с уменьшением радиуса связано с переносом циркуляции вдоль линии тока. Отличие азимутального движения от истинного обусловлено только тем фактом, что рассчитанное распределение функции тока отличается от истинного из-за линеаризации.

Таким образом, найдено приближенное распределение компонент скорости внутри гидроциклиона, при этом решение точно удовлетворяет на впускном и сливном отверстиях распределениям осевой и азимутальной компонентам скорости, из-за линеаризации наблюдается небольшое отклонение радиальной компоненты скорости от истинного распределения на входном отверстии.

Автор благодарит Ю. П. Гупало и Ю. С. Рязанцева за обсуждение работы и ценные замечания.

Поступила 4 I 1978

ЛИТЕРАТУРА

1. *Мустафаев А. М., Гутман Б. М.* Теория и расчет гидроциклиона. Баку, «Маариф», 1969.
2. *Шестов Р. Н.* Гидроциклоны. Л., «Машиностроение», 1967.
3. *Smith J. L.* An experimental study of the vortex in the cyclone separator. Paper Amer. Soc. Mech. Engrg., 1961, No. WA-189.
4. *Бэтчелор Дж.* Введение в динамику жидкости. М., «Мир», 1973.
5. *Васильев О. Ф.* Основы механики винтовых и циркуляционных потоков. М.—Л., Госэнергоиздат, 1958.
6. *Гостинцев Ю. А., Зайцев В. М., Новиков С. С.* Тяга сопла при циркуляционном истечении вихревого потока газа. Изв. АН СССР. МЖГ, 1975, № 5.
7. *Гупало Ю. П., Мартынов Ю. В., Рязанцев Ю. С.* О поле скоростей потока жидкости в винтовом канале прямоугольного сечения. Изв. АН СССР. МЖГ, 1977, № 1.
8. *Тиман А. Ф.* Теория приближения функций действительного переменного. М., Физматгиз, 1960.
9. *Гончаров В. Л.* Теория интерполяирования и приближения функций. М.—Л., Гостехиздат, 1934.
10. *Бейтман Г., Эрдей А.* Высшие трансцендентные функции, т. 1. М., «Наука», 1973.
11. *Мартынов Ю. В.* Вихревое осесимметричное течение невязкой жидкости в полу бесконечном зазоре между соосными круговыми цилиндрами. Изв. АН СССР. МЖГ, 1977, № 5.